

# تحلیل استاتیکی تیرهای نانو بر پایه‌ی نظریه‌ی گرادیان تنش و با استفاده از دو روش تحلیلی و عددی نیستروم

محمدصادق بهنام رسولی (دانشجوی کارشناسی ارشد)

احمد آفتابی ثانی (دانشیار)

عباس کرمدین\* (دانشیار)

گروه عمران، دانشکده‌ی مهندسی، دانشگاه فردوسی، مشهد

مهندسی عمران شریف، تابستان ۱۴۰۳ (صص. ۱۶۵-۱۷۵، پنداشت ثنی) درجی ۳۰، شماره ۲، صص. ۱۶۵-۱۷۵، پنداشت ثنی

نظریه‌ی غیرموضعی گرادیان تنش ارینگن، یکی از پرکاربردترین نظریه‌های مکانیک محیط پیوسته برای تحلیل سازه‌های نانو است، که در آن، تنش غیرموضعی به کمک یک تبدیل انتگرالی با کرنش مرتبط می‌شود. تابع هسته‌ی تبدیل انتگرالی مذکور، یک تابع منحصر به فرد نبوده و تابع‌های گوناگونی برای آن پیشنهاد شده است. در پژوهش حاضر سعی شده است تیر نانوی اویلر - برنولی بر پایه‌ی نظریه‌ی غیرموضعی ارینگن و با فرض تابع هسته‌ی نمایی طبیعی به صورت استاتیکی تحلیل شود. شایان ذکر است، در پژوهش حاضر، معادله‌ی انتگرالی حاکم بر رفتار تیر نانو، مستقیماً حل شده و معادله‌ی دیفرانسیل معادل آن نیز به دست آمده است. برای حل معادله‌ی انتگرالی ذکر شده از روش عددی نیستروم و روش‌های نظری استفاده شده است. در ادامه، روش مزبور برای تحلیل استاتیکی تیرهای نانو با شرایط مرزی و بارگذاری‌های مختلف به کار رفته و نتایج آن با یافته‌های مطالعات پیشین مقایسه شده است. در پایان، به تناقضی در نمودارهای بخش نتایج عددی اشاره و علت آن بررسی شده است.

behnamrasouli4001317159@mail.um.ac.ir  
aftabi@um.ac.ir  
a-karam@um.ac.ir

واژگان کلیدی: نظریه‌ی کشسانی غیرموضعی گرادیان تنش ارینگن، تیر نانو، معادله‌ی انتگرالی تیر نانو، تابع خیز، روش عددی نیستروم.

## ۱. مقدمه

شده است. نظریه‌های غیرموضعی گرادیان تنش ارینگن<sup>[۱]</sup>، گرادیان تنش رومانو و برتا<sup>[۲]</sup>، گرادیان کرنش میندلین<sup>[۳]</sup>، گرادیان کرنش پارگری<sup>[۴]</sup> و همکاران<sup>[۵]</sup> و کشسانی کلاسیک اصلاح شده با آثار انرژی سطحی<sup>[۶]</sup> از مهم ترین آن‌ها هستند. در پژوهش حاضر، نظریه‌ی غیرموضعی گرادیان تنش ارینگن<sup>[۱]</sup> با فرض تابع هسته‌ی نمایی طبیعی استفاده شده است. شایان ذکر است، نوآوری پژوهش حاضر در آن است که برای نخستین بار، معادله‌ی انتگرالی حاکم بر تیر نانوی اویلر - برنولی براساس نظریه‌ی غیرموضعی ارینگن و با فرض تابع هسته‌ی نمایی طبیعی، مستقیماً حل و سپس، تابع پاسخ آن به صورت فرم بسته ارائه شده است.

امروزه مواد در ابعاد نانو کاربردهای فراوانی در صنایع گوناگون، مانند صنعت بهداشت و درمان و صنایع نظامی دارند. از جمله آن‌ها می‌توان به حسگرهای نانو، مولدهای نانو و میکروسکوپ‌های نیروی اتمی اشاره کرد. این مسئله سبب جلب نظر پژوهشگران فراوانی به موضوع مکانیک سازه‌های نانو شده است. به طور کلی، روش دینامیک شبکه‌یی، روش اصلی برای تحلیل و طراحی سازه‌های نانو است، که روشی بسیار دقیق است، ولی به علت حجم بالای محاسبات و زمان زیاد تحلیل کمتر استفاده می‌شود. از سوی دیگر، روش‌های مبتنی بر مکانیک محیط پیوسته سریع‌تر به پاسخ می‌رسند، ولی دقت کمتری دارند. تاکنون نظریه‌های گوناگونی برای تفسیر رفتار سازه‌های میکرو و نانو پیشنهاد

\* نویسنده مسئول

تاریخ: دریافت ۱۴۰۲/۶/۱۳، اصلاحیه ۱۴۰۲/۶/۱۳، پذیرش ۱۴۰۲/۶/۲۹

رفتار متفاوت سازه‌های با ابعاد نانو به کمک آزمایش‌های متعدد آشکار شده است. برای مثال، نیلسون<sup>[۵]</sup> و همکاران (۲۰۰۳ و ۲۰۰۴)<sup>[۸]</sup>، با انجام آزمایش

استناد به این مقاله:

بهنام رسولی، محمدصادق، آفتابی ثانی، احمد، و کرمدین، عباس. ۱۴۰۳. تحلیل استاتیکی تیرهای نانو بر پایه‌ی نظریه‌ی گرادیان تنش و با استفاده از دو روش تحلیلی و عددی نیستروم. مهندسی عمران شریف، ۴۰(۲)، صص. ۱۶۵-۱۷۵. DOI:10.24200/J30.2023.62546.3231

بارگذاری روی تیرهای نانو از جنس کرومیم و با کمک میکروسکوپ نیروی اتمی (AFM)،<sup>۶</sup> نمودار خیز تیرهای مذکور را به دست آوردند و رفتار آن را مغایر با رفتار تیرهای کلاسیک یافتند. همچنین، پتی<sup>۷</sup> و همکاران (۲۰۱۵)،<sup>[۹]</sup> آزمایش بارگذاری خمشی روی تیر دو سر مفصل نانو را اجرا کردند و نتوانستند نتایج آن را با معادلات کلاسیک توجیه کنند. به دنبال آشکار شدن ناتوانی نظریه کلاسیک در توجیه پدیده جدید، پژوهشگران متعددی به تعریف نظریه‌های کشسانی جدید پرداختند. برای مثال، براساس نظریه گرادیان کرنش میندلین،<sup>[۳]</sup> برای مواد همگن، تنش و کرنش با ۱۸ پارامتر کشسانی به یکدیگر مرتبط می‌شوند. همچنین، سباسترن و راجیکسی<sup>۸</sup> (۲۰۱۲)،<sup>[۵]</sup> و میلر و شینو<sup>۹</sup> (۲۰۰۰)،<sup>[۶]</sup> سعی کردند با افزودن پارامترهای جدید مربوط به انرژی کرنشی سطحی، به نظریه کشسانی کلاسیک، خیز تیرهای نانو را توجیه کنند. همینطور استمیین و سیمولکا<sup>۱۰</sup> (۲۰۲۰)،<sup>[۱۱]</sup> توانستند تا حدودی رفتار تیرهای نانو را به کمک حساب دیفرانسیل کسری توجیه کنند.

از سوی دیگر، نخستین بار کرونی<sup>۱۱</sup> (۱۹۶۷)،<sup>[۱۱]</sup> با تعریف نیروهای بلندبرد، رفتار غیرموضعی را تعریف کرده و رابطه کلی مکانیک غیرموضعی را ارائه داده است. سپس ارینگن<sup>۱۲</sup> (۱۹۸۳ و ۱۹۷۲)،<sup>[۱۲]</sup> و ارینگن و ایدلن<sup>۱۳</sup> (۱۹۷۲)،<sup>[۱۳]</sup> با اعمال فرض رفتار غیرموضعی در معادلات تعادل جرم، اندازه، حرکت و انرژی توانستند رابطه انتگرالی میان تنش و کرنش را بیابند. ایشان سپس به کمک داده‌های آزمایش‌هایی که بر روی انتشار موج در بلور جامدات انجام شده بود، چند تابع هسته یا کرنل مناسب برای تبدیل انتگرالی مذکور پیشنهاد دادند و مناسب‌ترین آن‌ها را مشخص کردند.<sup>[۱۲]</sup> همچنین، ارینگن در پژوهش خود نشان داد که رابطه انتگرالی میان تنش و کرنش به ازاء هر تابع هسته، معادل با یک معادله دیفرانسیلی میان آن‌هاست.<sup>[۱۲]</sup> وی در حالت کلی (سه‌بعدی)، معادله دیفرانسیل معادل مربوط به تبدیل انتگرالی با هسته تابع بسیل<sup>۱۴</sup> اصلاح‌شده را به دست آورد؛ که به علت سادگی کاربرد، بسیار پرطرفدار است.

در ادامه، پدیسون<sup>۱۵</sup> و همکاران (۲۰۰۳)،<sup>[۱۴]</sup> معادله دیفرانسیل معادل پیشنهادی ارینگن را برای تیر اویلر - برنولی و در یک بعد بازنویسی و آن را برای تحلیل تیرهای نانو یک سر گیردار و دو سر مفصل استفاده کردند. در سال‌های بعد، پژوهشگران متعددی از معادله دیفرانسیل معادل پیشنهادی به جای معادله انتگرالی اولیه در تحلیل تیرهای نانو با رفتار اویلر - برنولی و تیموشنکو استفاده کردند.<sup>[۱۵-۲۲]</sup> به‌عنوان مثال، ونگ و شیندو<sup>۱۶</sup> (۲۰۰۶)،<sup>[۱۵]</sup> و ونگ و لیو<sup>۱۷</sup> (۲۰۰۷)،<sup>[۱۶]</sup> راهکار اخیر را برای تحلیل استاتیکی و کمانشی تیرهای نانو به‌کار بردند. همچنین، اوهلال<sup>۱۸</sup> (۲۰۱۳)،<sup>[۱۷]</sup> به کمک معادله دیفرانسیل اخیر و به‌کارگیری روش تابع گرین، پاسخ دینامیکی تیرهای اویلر - برنولی را در شرایط مرزی گوناگون به دست آورد. قنادی اصل و مفید (۲۰۱۳)،<sup>[۱۸]</sup> تحلیل دینامیکی تیر نانو با رفتار تیموشنکو را زیر اثر بار متحرک بررسی و از معادله دیفرانسیل معادل استفاده کردند. از سوی دیگر فرناندز<sup>۱۹</sup> و همکاران (۲۰۱۶)،<sup>[۱۹]</sup> نشان دادند که معادله دیفرانسیل مذکور، معادل با رابطه انتگرالی نظریه گرادیان تنش به ازاء تابع هسته‌ی نمای طبیعی نیست. همچنین، کوکلا و زاموسکا<sup>۲۰</sup> (۲۰۰۶)،<sup>[۲۰]</sup> نیز تحلیل ارتعاش آزاد تیر نانو را زیر بار محوری بررسی کردند.

کیانی و پاکدامن (۲۰۱۸)،<sup>[۲۱]</sup> بر پایه معادله دیفرانسیل به دست آمده توسط ارینگن و پدیسون،<sup>[۱۴]</sup> بسامد طبیعی یک غشاء تک‌لایه از نانولوله‌های کربنی دوجداره را که در یک محیط با گرادیان دمایی قرار گرفته بود، تعیین کردند. ایشان در پژوهش بعدی‌شان،<sup>[۲۲]</sup> بسامد طبیعی ارتعاش آزاد همان سازه‌ی پژوهش قبل

را به کمک معادله دیفرانسیل پیشنهادی در نوشتارهای اخیر،<sup>[۲۳]</sup> و همچنین، دینامیک شبکه‌ی به دست آوردند. شایان ذکر است، در دو پژوهش مذکور،<sup>[۲۳]</sup> آثار پارامترهای مختلف در مقدار بسامد طبیعی بررسی شده است. از سوی دیگر، یوان<sup>۲۱</sup> و همکاران (۲۰۲۰)،<sup>[۲۳]</sup> نیز به کمک معادله دیفرانسیل اشاره‌شده در نوشتارهای اخیر،<sup>[۲۳]</sup> به بررسی ارتعاش آزاد پیچشی سیم نانو ناهمگن و غیرمنشوری که تغییر مقطع‌های موضعی دارد، پرداختند. با به‌کارگیری اصول مشابه، کیانی و زور<sup>۲۲</sup> (۲۰۲۱)،<sup>[۲۴]</sup> ارتعاش آزاد دو میله نانو به هم چسبیده با تغییر مقطع را مطالعه کردند.

همان‌طور که گفته شد، بر پایه مرجع ارینگن،<sup>[۱۲]</sup> معادله دیفرانسیل معادل تبدیل انتگرالی میان تنش و کرنش، به ازاء تابع‌های هسته‌ی متفاوت تغییر می‌کند. از سوی دیگر، معادله استفاده‌شده در برخی پژوهش‌ها،<sup>[۱۵-۲۳]</sup> همان معادله دیفرانسیل معادل تبدیل انتگرالی به ازاء تابع هسته‌ی بسیل اصلاح‌شده است. در پژوهش حاضر تلاش شده است تبدیل انتگرالی اخیر به ازاء تابع هسته‌ی نمای طبیعی حل شود و معادله دیفرانسیل معادل آن به دست آید.

همان‌طور که پیشتر اشاره شد، در سال‌های اخیر، نخستین تلاش‌ها برای حل معادله انتگرالی با تابع هسته‌ی بسیل از سوی فرناندز و همکاران (۲۰۱۶)،<sup>[۱۹]</sup> و همچنین، تونا و کیرکا<sup>۲۳</sup> (۲۰۱۶)،<sup>[۲۵]</sup> بوده است. در پژوهش فرناندز و همکاران،<sup>[۱۹]</sup> سعی شده بود معادله انتگرالی با هسته‌ی نمای طبیعی به روش تحلیلی، ساده و سپس به کمک روش‌های عددی حل شود. به دلیل به‌کارگیری روش عددی، ایشان فقط به نمودار تغییرات خیز یک نقطه از تیر به ازاء تغییر پارامتر غیرموضعی دست یافتند. در ادامه، تونا و کیرکا،<sup>[۲۵]</sup> معادله انتگرالی اشاره‌شده را به کمک روش تبدیل لاپلاس و برای تیر تیموشنکو و اویلر - برنولی حل کردند. با وجود این، رومانو و برتا<sup>۲۴</sup> (۲۰۱۶)،<sup>[۲۶]</sup> با مروری بر پژوهش اخیر، ایرادهایی به آن وارد ساختند؛ از جمله اینکه تابع پاسخ در نوشتار تونا و کیرکا،<sup>[۲۵]</sup> نمی‌تواند معادله انتگرالی را ارضاء کند و جملات مبهم، شامل: تابع هوی‌ساید و دلتای دیراک در نقاط تعریف‌نشده‌ی خارج از دامنه وجود دارد.

تاکنون روش‌های عددی و نظری گوناگونی برای حل معادلات انتگرالی ارائه شده است، که در برخی کتاب‌های راهنمای حل معادلات انتگرالی،<sup>[۲۷]</sup> ارائه شده است. در پژوهش حاضر، تابع پاسخ با راهکار عددی نیستروم<sup>۲۵</sup> حدس زده شده و با یک راهکار تحلیلی دقیق به دست آمده است. روش نیستروم، در واقع، شیوه‌ی مبتنی بر تبدیل انتگرال به مجموع جملات محدود است، که تاکنون برای حل عددی معادلات انتگرالی فرد هولم و ولترا<sup>۲۶</sup> به‌کار رفته است.<sup>[۲۸-۳۳]</sup>

در پژوهش حاضر، معادله انتگرالی ارائه‌شده براساس نظریه کشسانی غیرموضعی گرادیان تنش ارینگن<sup>۱۲</sup> (۱۹۸۳)،<sup>[۱۲]</sup> و به ازاء تابع هسته‌ی نمای طبیعی، با ترکیب روش‌های عددی و تحلیلی حل شده و پاسخ صریح ریاضی به‌صورت تابع با فرم بسته به دست آمده است. تاکنون پژوهشگری اقدام به حل معادله انتگرالی نظریه غیرموضعی با هسته‌ی نمای طبیعی و استخراج معادله دیفرانسیل معادل آن نکرده است. در ادامه و در بخش دوم، ابتدا پیش‌نیازهای نظری و مفاهیم اولیه‌ی موردنیاز برای یافتن تابع خیز ارائه شده‌اند. در بخش سوم، محاسبات ریاضی مربوط به حل معادله انتگرالی و در بخش چهارم، تابع خیز به فرم بسته ارائه شده است. در بخش بعدی، نیز تیرهای نانو با شرایط مرزی مختلف و بارگذاری‌های گوناگون به کمک راهکار پیشنهادی تحلیل و نتایج به دست آمده با نتایج موجود در پژوهش‌های پیشین مقایسه شده است. همچنین در بخش حاضر، نمودار خیز تیر نانو در شرایط مرزی گوناگون و زیر بارگذاری‌های مختلف براساس تابع هسته‌ی نمای طبیعی به دست آمده است. در بخش انتهایی، به

که در آن،  $a$  طول مشخصه درونی و  $e_0$  ثابت کالیبراسیون است. با ترکیب دو معادله ۱ و ۲ و به کارگیری معادله تعادل لنگر در یک مقطع از تیر نانو، رابطه ۴ به دست می آید: [۱۹]

$$M(x) = EI \int_0^L k(|x - \bar{x}|, \tau) \frac{d^2 w(\bar{x})}{d\bar{x}^2} d\bar{x} \quad (4)$$

تابع هسته‌ای استفاده شده در پژوهش حاضر مطابق رابطه ۵ است: [۱]

$$k(|x - \bar{x}|, \tau) = \frac{1}{\tau} e^{-\frac{|x - \bar{x}|}{\tau}} \quad (5)$$

با جای‌گذاری معادله ۵ در معادله ۴ و بی‌بعدسازی آن، معادله انتگرالی نهایی با متغیرهای بی‌بعد مطابق رابطه ۶ به دست می آید:

$$\tau h \bar{M}(\xi) = \int_0^1 e^{-\frac{|\xi - \eta|}{h}} \frac{d^2 \bar{w}(\eta)}{d\eta^2} d\eta \quad (6)$$

متغیرهای بی‌بعد به صورت روابط ۷ تعریف می‌شوند:

$$h = \frac{\tau}{L}; \quad \eta = \frac{\bar{x}}{L}; \quad \xi = \frac{x}{L}; \quad \bar{M} = \frac{M}{q_0 L^2};$$

$$\bar{q} = \frac{q}{q_0}; \quad w_0 = \frac{q_0 L^4}{EI}; \quad \bar{w} = \frac{w}{w_0}; \quad (7)$$

که در آن،  $h$  پارامتر غیرموضعی بی‌بعد،  $\eta$  و  $\xi$  مکان نسبی یک نقطه مشخص در طول تیر، اولی به عنوان متغیر انتگرال و دومی برای محاسبه لنگر است. همچنین،  $\bar{M}$  و  $\bar{q}$  به ترتیب نشان‌دهنده لنگر بی‌بعد، خیز بی‌بعد و بار خارجی بی‌بعد هستند. به علاوه،  $q_0$  و  $w_0$  به ترتیب بار خارجی مشخصه و خیز مشخصه هستند.

## ۲.۲. روش تحلیلی حل معادله انتگرالی

پس از معرفی معادله انتگرالی حاکم بر تیرهای نانو ایبار - برنولی براساس هسته‌ای نمایی طبیعی، در ادامه به مرور روش‌های حل این‌گونه معادلات انتگرالی پرداخته شده است. ناگفته نماند، معادله ۶ از نظر ریاضی، یک معادله انتگرالی فرد هولم نوع اول است. صورت کلی معادله انتگرالی فرد هولم نوع اول به صورت رابطه ۸ است: [۲۷]

$$f(\xi) = \int_a^b e^{\mu|\xi - \eta|} y(\eta) d\eta \quad (8)$$

معادله ۸، به کمک خاصیت جداسازی کران‌های انتگرال مطابق رابطه ۹ به جمع دو انتگرال تبدیل می‌شود:

$$f(\xi) = \int_a^\xi e^{\mu(\xi - \eta)} y(\eta) d\eta + \int_\xi^b e^{\mu(\eta - \xi)} y(\eta) d\eta \quad (9)$$

پس از دو بار مشتق‌گیری از معادله ۹ و جمع عبارات‌های ایجاد شده، رابطه ۱۰ به دست می آید: [۲۷]

$$y(\xi) = \frac{f''(\xi) - \mu^2 f(\xi)}{2\mu} \quad (10)$$

از سوی دیگر، براساس نوشتار پلیانین و منژیرو [۲۸]، (۲۰۰۸)، [۲۷] برای برقراربودن رابطه ۱۰، لازم است دو شرط مطابق رابطه ۱۱ رعایت شوند:

$$\begin{cases} f'(a) + \mu f(a) = 0 \\ f'(b) - \mu f(b) = 0 \end{cases} \quad (11)$$

تناقضی که در شرایط مرزی با شیب صفر رخ داده و همچنین علت آن اشاره شده است.

## ۲. مفاهیم اولیه

در بخش حاضر، ضمن مرور نظریه‌ی غیرموضعی گرادیان تنش ارینگن، [۱] و معرفی تابع هسته‌ای استفاده شده در معادله انتگرالی نظریه‌ی ارینگن، راهکارهای موجود برای حل معادله انتگرالی ارینگن، از جمله روش عددی نیستروم معرفی شده‌اند.

### ۱.۲. نظریه‌ی غیرموضعی گرادیان تنش ارینگن [۱]

در پژوهش حاضر، تیرنانو با رفتار اویبر - برنولی بررسی شده است. ابتدا جهت‌های مثبت فرض شده برای خیز، لنگر خمشی، نیروی برشی، و بار خارجی در شکل ۱ مشاهده می‌شود. همچنین، رابطه ۱ برای تیرهای اویبر - برنولی برقرار است:

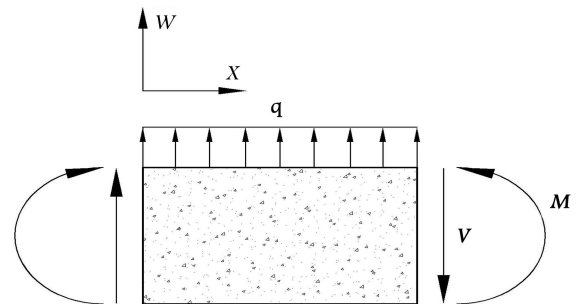
$$\varepsilon_x = z \frac{d^2 w}{dx^2} \quad (1)$$

که در آن،  $w$  تابع خیز و  $z$  محور ارتفاعی تیر هستند، که جهت مثبت آن در شکل ۲ مشاهده می‌شود. در ادامه، رابطه تنش - کرنش (مطابق رابطه ۲)، براساس نظریه‌ی غیرموضعی گرادیان تنش ارینگن ارائه شده است: [۱۳، ۱۴]

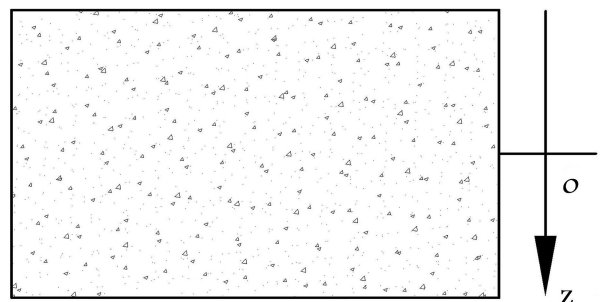
$$\sigma_x(x) = \int_0^L k(|x - \bar{x}|, \tau) E \varepsilon_x(\bar{x}) d\bar{x} \quad (2)$$

که در آن،  $\sigma$  نمایانگر تنش غیرموضعی در جهت محور تیر نانو،  $\varepsilon_x(\bar{x})$  نشان‌دهنده کرنش در نقطه‌ی مشخص  $\bar{x}$  در طول تیر،  $k(|x - \bar{x}|, \tau)$  بیانگر تابع هسته‌ی تبدیل انتگرالی و  $\tau$  بیانگر پارامتر غیرموضعی در ماده هستند. همچنین،  $E$  و  $L$  به ترتیب ثابت کشسانی ماده و طول تیر نانو هستند.  $\tau$  به صورت رابطه ۳ تعریف می‌شود:

$$\tau = e_0 a \quad (3)$$



شکل ۱. جهت‌های مثبت فرض شده برای نیروهای داخلی، خارجی و خیز.



شکل ۲. جهت مثبت محور ارتفاعی تیر نانو.

که در آن،  $m$  بیانگر تعداد تقسیمات بازه‌ی انتگرال‌گیری و  $\Delta t$  نمایانگر طول بازه‌ی هر تقسیم به‌طور مساوی است.  $\Delta t$  در معادله‌ی ۱۷ مطابق رابطه‌ی ۱۸ محاسبه می‌شود:

$$\Delta t = \frac{b-a}{m}; \quad \begin{cases} t_j = (j - \frac{1}{m}) \Delta t + a \\ x_i = (i - \frac{1}{m}) \Delta t + a \end{cases} \quad (18)$$

همچنین اگر رابطه‌ی ۱۹ برقرار باشد:

$$y(t_j) = y_j; \quad f(x_i) = f_i; \quad (19)$$

می‌توان معادله‌ی ۱۷ را به‌صورت ماتریسی (رابطه‌ی ۲۰) بازنویسی کرد:

$$[k] \{y\} = \frac{1}{\Delta t} \{f\}; \quad \begin{cases} \{f_i\} = \{f_1, \dots, f_m\}^T \\ \{y_i\} = \{y_1, \dots, y_m\}^T \\ [k_{ij}] = [k(x_i, t_j)]_{m \times m} \end{cases}; \quad (20)$$

با حل دستگاه معادلات خطی ۲۰، می‌توان به مقادیر تابع مجهول یا  $\{y(t_j)\}$  دست یافت.<sup>[۲۸]</sup> در بخش بعد، از روش عددی نیستروم برای حل معادله‌ی انتگرالی حاکم بر رفتار تیر نانو استفاده شده است.

### ۳. حل معادله‌ی انتگرالی با هسته‌ی نمایی طبیعی

در بخش حاضر تلاش شده است از روش‌های تحلیلی و عددی استفاده شود، تا معادله‌ی انتگرالی حاکم بر رفتار تیر نانو به ازاء تابع هسته‌ی نمایی طبیعی حل شود. برای این منظور مانند روند استفاده‌شده در نوشتار فرناندز و همکاران (۲۰۱۶)،<sup>[۱۹]</sup> تابع انحناء به‌صورت رابطه‌ی ۲۱ در نظر گرفته شده است:

$$\bar{w}''(\eta) = \bar{w}_A''(\eta) - A\bar{w}_A''(\eta) - B\bar{w}_B''(\eta) \quad (21)$$

با جای‌گذاری رابطه‌ی ۲۱ در رابطه‌ی ۶، رابطه‌ی ۲۲ به‌دست می‌آید:

$$\int_0^1 e^{-\frac{|\xi-\eta|}{h}} [\bar{w}_A''(\eta) - A\bar{w}_A''(\eta) - B\bar{w}_B''(\eta)] d\eta = 2h\bar{M}(\xi) \quad (22)$$

با یک بار افزودن و کاستن عبارت  $(A\xi + B)$  در سمت راست رابطه‌ی ۲۲ و تفکیک عبارت‌های آن، می‌توان رابطه‌ی ۲۳ (۱، ۲ و ۳) را نوشت:

$$\begin{cases} \int_0^1 e^{-\frac{|\xi-\eta|}{h}} \bar{w}_A''(\eta) d\eta = 2h\bar{M}(\xi) + A\xi + B & (23-1) \\ \int_0^1 e^{-\frac{|\xi-\eta|}{h}} \bar{w}_A''(\eta) d\eta = \xi & (23-2) \\ \int_0^1 e^{-\frac{|\xi-\eta|}{h}} \bar{w}_B''(\eta) d\eta = 1 & (23-3) \end{cases}$$

می‌توان با محاسبه‌ی سه تابع  $\bar{w}_A''$ ،  $\bar{w}_B''$  و استفاده از رابطه‌ی ۲۱، به تابع انحناء دست یافت. در ادامه، پارامتر  $\bar{w}_A''$  با توجه به رابطه‌های ۱-۱۶ تا ۳-۱۶، مطابق رابطه‌ی ۲۴ به‌دست آمده است:

$$\bar{w}_A''(\xi) = \bar{M}(\xi) - h^T \bar{q}(\xi) + \left( \frac{A\xi + B}{2h} \right) \quad (24)$$

بدین ترتیب، معادله‌ی انتگرالی حاکم بر تیر نانو، به سه معادله‌ی انتگرالی مجزأ تبدیل و یکی از آن‌ها محاسبه شد. درگام بعد، ابتدا از روش عددی نیستروم برای حل دو معادله‌ی ۲-۲۳ و ۳-۲۳ مطابق رابطه‌ی ۲۵ استفاده شده است:

$$\int_0^1 e^{-\frac{|\xi-\eta|}{h}} \bar{w}''(\eta) d\eta = \xi^n \quad (n = 0, 1) \quad (25)$$

بنابراین، اگر شرایط ۱۱ رعایت شود، معادله‌ی انتگرالی ۸ با معادله‌ی دیفرانسیل معادل است. این تذکر لازم است که برای تابع دلخواه  $f(\xi)$ ، تابع  $F(\xi)$  (مطابق رابطه‌ی ۱-۱۲) همواره شرایط رابطه‌ی ۱۱ را رعایت می‌کند.<sup>[۲۷]</sup>

$$F(\xi) = f(\xi) + A\xi + B \quad (12-1)$$

که در آن، ضرایب  $A$  و  $B$  مطابق روابط ۲-۱۲ و ۳-۱۲ به دست می‌آیند:

$$A = \frac{f'(a) + f'(b) + \mu f(a) - \mu f(b)}{b\mu - a\mu - 2} \quad (12-2)$$

$$B = -\frac{f'(a) + \mu f(a) + Aa\mu + A}{\mu} \quad (12-3)$$

در ادامه، برای استفاده از رابطه‌های ۸، ۱۰ و ۱۱ در پژوهش حاضر، نخست روابط ۱۳ با توجه به رابطه‌ی ۶ تعریف می‌شوند:

$$a = 0; \quad b = 1; \quad \mu = \frac{-1}{h}; \quad y(\xi) = \frac{d^2 \bar{w}(\xi)}{d\xi^2}; \quad (13)$$

$$f(\xi) = 2h\bar{M}(\xi);$$

سپس، دو شرط رابطه‌ی ۱۱ به‌صورت رابطه‌ی ۱۴ نوشته می‌شوند:

$$\bar{V}(0) - \frac{1}{h}\bar{M}(0) = 0; \quad \bar{V}(1) + \frac{1}{h}\bar{M}(1) = 0; \quad (14)$$

با توجه به رابطه‌ی ۱۴، آشکار است که معادله‌های ذکرشده هیچگاه برقرار نیستند.<sup>[۱۹]</sup> بنابراین نمی‌توان از رابطه‌ی ۱۰ به‌عنوان معادله‌ی دیفرانسیل معادل استفاده کرد. بدین ترتیب، لازم است معادله‌ی انتگرالی ۶ با توجه به رابطه‌های ۱-۱۲ الی ۳-۱۲ مطابق رابطه‌ی ۱-۱۵ حل شود.<sup>[۱۹]</sup>

$$F(\xi) = 2h\bar{M}(\xi) + A\xi + B \quad (15-1)$$

که در آن، پارامترهای  $A$  و  $B$  مطابق روابط ۲-۱۵ و ۳-۱۵ محاسبه می‌شوند:

$$A = \frac{-2h}{1+2h} \{ [h\bar{V}(0) - \bar{M}(0)] + [h\bar{V}(1) + \bar{M}(1)] \} \quad (15-2)$$

$$B = \left( \frac{2h+2h^T}{1+2h} \right) [h\bar{V}(0) - \bar{M}(0)] - \frac{2h^T}{1+2h} [h\bar{V}(1) + \bar{M}(1)] \quad (15-3)$$

در بخش‌های بعد، به کمک رابطه‌های ۱۵ (۱، ۲ و ۳)، معادله‌ی ۶ حل شده است. در ادامه، روش عددی نیستروم نیز بررسی شده است.

### ۳.۲. روش عددی نیستروم

یکی از راهکارهای عددی برای حل کردن معادلات انتگرالی، روش عددی نیستروم است،<sup>[۲۸]</sup> که از آن تاکنون برای حل معادلات انتگرالی گوناگون، شامل فردهولم و ولترا استفاده شده است.<sup>[۲۳-۲۹]</sup> فرم کلی یک معادله‌ی انتگرالی به‌صورت رابطه‌ی ۱۶ است:

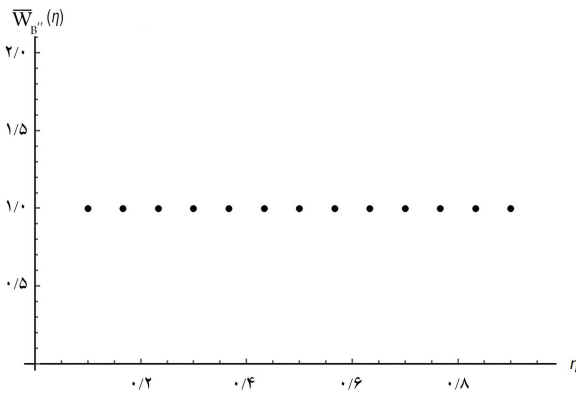
$$\int_a^b k(x,t) y(t) dt = f(x) \quad (16)$$

که می‌توان آن را به مجموع ریمانی مطابق رابطه‌ی ۱۷ تبدیل کرد:

$$\sum_{j=1}^m k(x_i, t_j) y(t_j) = \frac{f(x_i)}{\Delta t}; \quad (i = 1, \dots, m) \quad (17)$$

جدول ۲. نتایج حل دستگاه معادلات ۲<sup>o</sup> به ازاء:  $h = 0.5$ ,  $m = 15$  و  $n = 0$ .

$\eta_j$	$\bar{w}_B''(\eta_j)$
0.0333	7.9993
0.1000	0.9985
0.1667	0.9985
0.2333	0.9985
0.3000	0.9985
0.3667	0.9985
0.4333	0.9985
0.5000	0.9985
0.5667	0.9985
0.6333	0.9985
0.7000	0.9985
0.7667	0.9985
0.8333	0.9985
0.9000	0.9985
0.9667	7.9993

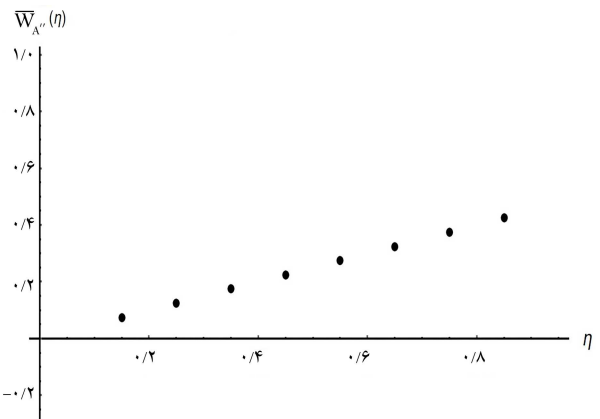


شکل ۴. تابع پاسخ معادله انتگرالی ۲۵ با روش عددی نیستروم به ازاء:  $h = 0.5$ ,  $n = 0$  و  $m = 15$ .

در نتایج دو نمونه‌ی اخیر مشاهده می‌شود که تمامی خروجی‌ها به جز خروجی‌های اول و آخر، روی یک تابع ثابت یا خطی قرار دارند. در هر حل دستگاه معادلات نیز فقط اولین و آخرین داده، به ترتیب بسیار بزرگ و بسیار کوچک هستند. این رفتار بسیار شبیه به رفتار تابع دلتای دیراک<sup>۲۹</sup> است. تابع دلتای دیراک، در یک نقطه‌ی مشخص به سمت بی‌نهایت میل می‌کند و در سایر نقاط صفر است.<sup>[۳۴]</sup> بنابراین، اگر در تابع پاسخ معادله انتگرالی ۲۵، در دو سر بازه  $[0, 1]$ ، دو تابع دلتای دیراک در نظر گرفته شود، احتمالاً توجیه‌کننده‌ی خوبی برای رفتار تابع پاسخ است. از سوی دیگر، با توجه به شکل‌های ۳ و ۴، در نقاط میانی، احتمالاً تابع پاسخ، یک تابع چندجمله‌ی نیز دارد. با توجه به حدس‌های اخیر، تابع کلی ۲۸ به عنوان پاسخ دقیق معادله انتگرالی ۲۵ برای  $n = 0$ ، پیشنهاد شده

جدول ۱. نتایج حل دستگاه معادلات ۲<sup>o</sup> به ازاء:  $h = 1$ ,  $m = 10$  و  $n = 1$ .

$\eta_j$	$\bar{w}_A''(\eta_j)$
0.05	-4.7292
0.15	0.745
0.25	0.1249
0.35	0.1749
0.45	0.2248
0.55	0.2748
0.65	0.3247
0.75	0.3747
0.85	0.4247
0.95	9.9790



شکل ۳. تابع پاسخ معادله انتگرالی ۲۵ با روش عددی نیستروم به ازاء:  $h = 1$ ,  $n = 1$  و  $m = 10$ .

که در آن،  $n$  توان  $\xi$  است، که می‌تواند ۰ یا ۱ باشد. مشابه رابطه ۱۷ می‌توان رابطه ۲۶ را نوشت:

$$\sum_{j=1}^m e^{-\frac{|\xi_i - \eta_j|}{h}} \bar{w}''(\eta_j) = \frac{\xi_i^n}{\Delta\eta} \quad (n = 0, 1); \quad (i = 1, \dots, m) \quad (26)$$

که در آن  $\Delta\eta$  مطابق رابطه ۲۷ محاسبه می‌شود:

$$\Delta\eta = \frac{1-0}{m} = \frac{1}{m}; \quad \begin{cases} \eta_j = \frac{1}{m} (j - \frac{1}{2}) \\ \xi_i = \frac{1}{m} (i - \frac{1}{2}) \end{cases}; \quad (27)$$

در ادامه، دستگاه معادلات خطی ۲<sup>o</sup> برای چند حالت مختلف  $m$ ،  $h$  و  $n$  حل شده و نتایج آن که همان  $\{y(t_j)\}$  است، در جدول ۱ ارائه شده است. نخست فرض شده است:  $h = 1$ ,  $m = 10$  و  $n = 1$ . در این حالت با توجه به رابطه ۲-۲۳،  $\bar{w}'' = \bar{w}_A''$  است.

ترسیم خروجی‌های جدول ۱، در دستگاه مختصات، نقاطی از تابع  $\bar{w}_A''(\eta_j)$  را مطابق شکل ۳ به دست داده است.

در ادامه، مطابق جدول ۲، فرض شده است که:  $h = 0.5$ ,  $m = 15$  و  $n = 0$ . در این حالت با توجه به رابطه ۳-۲۳،  $\bar{w}'' = \bar{w}_B''$  است.

رسم خروجی‌های جدول ۲، در دستگاه مختصات، نقاطی از تابع  $\bar{w}_B''(\eta_j)$  در شکل ۴ مشاهده می‌شود.

در نتیجه پس از مرتب‌کردن عبارت‌های مشابه در رابطه‌ی ۳۵، می‌توان رابطه‌ی ۳۶ را نوشت:

$$\int_0^1 e^{-\frac{|\xi-\eta|}{h}} [a\eta^\tau + b\eta + c + d\delta(\eta) + f\delta(\eta-1)] d\eta = 2ah\xi^\tau + 2bh\xi + (4ah^\tau + 2ch) + \left(-2ah^\tau + bh^\tau - ch + \frac{d}{\tau}\right) e^{-\frac{\xi}{h}} + \left(-ch - ah - 2ah^\tau - 2ah^\tau - b(h+h^\tau) + \frac{f}{\tau}\right) e^{\frac{(\xi-1)}{h}} \equiv \xi^n \quad (36)$$

که در آن،  $n$  برابر با ۰ یا ۱ است. در ادامه، پاسخ دو معادله‌ی انتگرالی ۲-۲۳ و ۳-۲۳ مطابق رابطه‌های ۳۷ و ۳۸ به‌دست آمده‌اند:

$$\int_0^1 e^{-\frac{|\xi-\eta|}{h}} \bar{w}_A''(\eta) d\eta = \xi \quad (37)$$

$$2ah\xi^\tau + 2bh\xi + (4ah^\tau + 2ch) + \left(-2ah^\tau + bh^\tau - ch + \frac{d}{\tau}\right) e^{-\frac{\xi}{h}} + \left(-ch - ah - 2ah^\tau - 2ah^\tau - b(h+h^\tau) + \frac{f}{\tau}\right) e^{\frac{(\xi-1)}{h}} \equiv \xi \quad (38)$$

با هم‌ارز قرار دادن دو سمت رابطه‌ی ۳۸، می‌توان معادلات ۳۹ را نتیجه گرفت:

$$\begin{cases} 2ah = 0 \Rightarrow a = 0 \\ 2bh = 1 \Rightarrow b = \frac{1}{2h} \\ 4ah^\tau + 2ch = 0 \Rightarrow c = 0 \\ -2ah^\tau + bh^\tau - ch + \frac{d}{\tau} = 0 \Rightarrow d = -h \\ -ch - ah - 2ah^\tau - 2ah^\tau - b(h+h^\tau) + \frac{f}{\tau} = 0 \\ \Rightarrow f = 1 + h \end{cases} \quad (39)$$

و تابع پاسخ دقیق به‌صورت رابطه‌ی ۴۰ درمی‌آید:

$$\bar{w}_A''(\xi) = \frac{\xi}{2h} - h\delta(\xi) + (1+h)\delta(\xi-1) \quad (40)$$

در مورد معادله‌ی دوم نیز می‌توان رابطه‌ی ۴۱ را نوشت:

$$\int_0^1 e^{-\frac{|\xi-\eta|}{h}} \bar{w}_B''(\eta) d\eta = 1 \quad (41)$$

بنابراین، رابطه‌ی ۴۲ به‌دست خواهد آمد:

$$2ah\xi^\tau + 2bh\xi + (4ah^\tau + 2ch) + \left(-2ah^\tau + bh^\tau - ch + \frac{d}{\tau}\right) e^{-\frac{\xi}{h}} + \left(-ch - ah - 2ah^\tau - 2ah^\tau - b(h+h^\tau) + \frac{f}{\tau}\right) e^{\frac{(\xi-1)}{h}} \equiv 1 \quad (42)$$

به‌طور مشابه، ثابت‌های مجهول با هم‌ارز قرار دادن دو سمت رابطه‌ی ۴۲، روابط ۴۳ به‌دست آمده‌اند:

$$\bar{w}''(\eta) = a\eta^\tau + b\eta + c + d\delta(\eta) + f\delta(\eta-1) \quad (28)$$

با جای‌گذاری تابع ۲۸ در رابطه‌ی انتگرالی ۲۵ و هم‌ارز قرار دادن حاصل انتگرال با سمت راست تساوی، می‌توان تابع پاسخ را مطابق رابطه‌ی ۲۹ به‌دست آورد:

$$\int_0^1 e^{-\frac{|\xi-\eta|}{h}} [a\eta^\tau + b\eta + c + d\delta(\eta) + f\delta(\eta-1)] d\eta = a \int_0^1 e^{-\frac{|\xi-\eta|}{h}} \eta^\tau d\eta + b \int_0^1 e^{-\frac{|\xi-\eta|}{h}} \eta d\eta + c \int_0^1 e^{-\frac{|\xi-\eta|}{h}} d\eta + d \int_0^1 e^{-\frac{|\xi-\eta|}{h}} \delta(\eta) d\eta + f \int_0^1 e^{-\frac{|\xi-\eta|}{h}} \delta(\eta-1) d\eta \quad (29)$$

به روش انتگرال‌گیری جزیه‌جز، می‌توان روابط ۳۰ الی ۳۲ را نتیجه گرفت:

$$\int_0^1 e^{-\frac{|\xi-\eta|}{h}} \eta^\tau d\eta = \int_0^\xi e^{-\frac{(\xi-\eta)}{h}} \eta^\tau d\eta + \int_\xi^1 e^{-\frac{(\eta-\xi)}{h}} \eta^\tau d\eta = 2\xi^\tau h + 4h^\tau - he^{\frac{(\xi-1)}{h}} - 2h^\tau e^{\frac{(\xi-1)}{h}} - 2h^\tau e^{\frac{(\xi-1)}{h}} - 2h^\tau e^{-\frac{\xi}{h}} \quad (30)$$

$$\int_0^1 e^{-\frac{|\xi-\eta|}{h}} \eta d\eta = \int_0^\xi e^{-\frac{(\xi-\eta)}{h}} \eta d\eta + \int_\xi^1 e^{-\frac{(\eta-\xi)}{h}} \eta d\eta = 2\xi h - (h+h^\tau) e^{\frac{(\xi-1)}{h}} + h^\tau e^{-\frac{\xi}{h}} \quad (31)$$

$$\int_0^1 e^{-\frac{|\xi-\eta|}{h}} d\eta = \int_0^\xi e^{-\frac{(\xi-\eta)}{h}} d\eta + \int_\xi^1 e^{-\frac{(\eta-\xi)}{h}} d\eta = 2h - he^{\frac{(\xi-1)}{h}} - he^{-\frac{\xi}{h}} \quad (32)$$

در مورد تابع‌های دلتای دیراک نیز براساس خواص آن، نتایج ۳۳ و ۳۴ در دسترس قرار می‌گیرد.<sup>[۳۲]</sup>

$$\int_0^1 e^{-\frac{|\xi-\eta|}{h}} \delta(\eta) d\eta = \frac{1}{\tau} e^{-\frac{\xi}{h}} \quad (33)$$

$$\int_0^1 e^{-\frac{|\xi-\eta|}{h}} \delta(\eta-1) d\eta = \frac{1}{\tau} e^{\frac{(\xi-1)}{h}} \quad (34)$$

اکنون با روی هم‌گذاری معادله‌های ۳۰ الی ۳۴ و با توجه به معادله‌ی انتگرالی ۲۹، می‌توان پاسخ را به‌دست آورد (معادله‌ی ۳۵):

$$\int_0^1 e^{-\frac{|\xi-\eta|}{h}} [a\eta^\tau + b\eta + c + d\delta(\eta) + f\delta(\eta-1)] d\eta = a \left( 2\xi^\tau h + 4h^\tau - he^{\frac{(\xi-1)}{h}} - 2h^\tau e^{\frac{(\xi-1)}{h}} \right) + b \left( 2\xi h - (h+h^\tau) e^{\frac{(\xi-1)}{h}} + h^\tau e^{-\frac{\xi}{h}} \right) + c \left( 2h - he^{\frac{(\xi-1)}{h}} - he^{-\frac{\xi}{h}} \right) + d \left( \frac{e^{-\frac{\xi}{h}}}{\tau} \right) + f \left( \frac{e^{\frac{(\xi-1)}{h}}}{\tau} \right) \quad (35)$$

با جای‌گذاری رابطه‌های ۱-۴۷ و ۳-۴۷ در معادله‌ی ۴۶، معادله‌ی ۴۸ به‌دست آمد:

$$w''(\xi) = C_2 + C_1\xi + \int_0^\xi (\xi - t)\bar{q}(t)dt - h^2\bar{q}(\xi) + \beta_1\delta(\xi) + \beta_2\delta(\xi - 1) \quad (48)$$

در ادامه، با دو مرتبه انتگرال‌گیری از معادله‌ی ۴۸، تابع‌های شیب (رابطه‌ی ۴۹) و خیز (رابطه‌ی ۵۰) به‌دست آمدند:

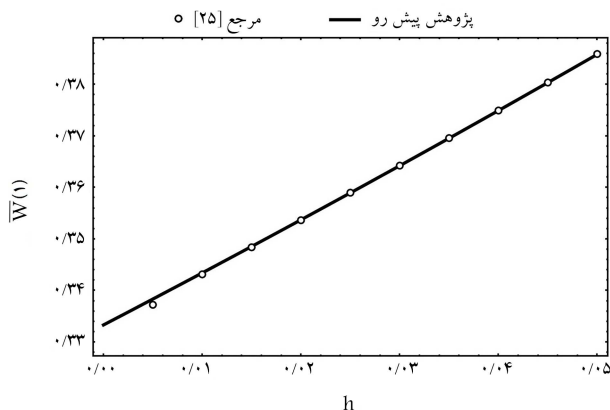
$$w'(\xi) = C_2 + C_1\xi + \frac{C_1\xi^2}{2} + \frac{1}{2}\int_0^\xi (\xi - t)^2\bar{q}(t)dt - h^2\int_0^\xi \bar{q}(t)dt + \beta_1H(\xi) + \beta_2H(\xi - 1) \quad (49)$$

$$\bar{w}(\xi) = C_2\xi + C_1\xi^2 + \frac{C_1\xi^3}{6} + \frac{1}{6}\int_0^\xi (\xi - t)^3\bar{q}(t)dt - h^2\int_0^\xi (\xi - t)\bar{q}(t)dt + \beta_1\xi H(\xi) + \beta_2(\xi - 1)H(\xi - 1) \quad (50)$$

رابطه‌ی ۵۰، تابع فرم بسته‌ی خیز تیر نانو است، که ۴ ثابت مجهول دارد؛ که پس از تعیین شرایط مرزی و بارگذاری تیر نانو تعیین می‌شوند. در بخش بعد، از رابطه‌ی اخیر برای تعیین خیز تیرهای نانو در شرایط مرزی و بارگذاری‌های مختلف استفاده شده است.

### ۵. نتایج عددی و تحلیل آن‌ها

در بخش حاضر، معادله‌ی ۵۰ برای چند حالت شرایط مرزی و تابع بارگذاری تعیین شده است. در بخش اول، نمودار تغییرات خیز یک نقطه از تیر نانو با پارامتر غیرموضعی ترسیم و با نتایج مشابه در مرجع [۱۹] مقایسه شده است (شکل‌های ۵ الی ۱۱). در بخش دوم، نمودار خیز تیرهای نانو در شرایط مرزی مختلف ترسیم شده‌اند (شکل‌های ۱۲ الی ۱۷). نکته‌ی مهم نمودارهای ذکرشده آن است که برای نخستین بار آن‌ها براساس تابع هسته‌ی نمایی طبیعی به‌دست آمده‌اند. همان‌طور که مشاهده می‌شود، نقطه‌های نمودار شکل ۵ مربوط به نتایج عددی [۱۹] و نمودار پرننگ به معادله‌ی به‌دست‌آمده براساس رابطه‌ی ۵۰ اشاره می‌کند.



شکل ۵. خیز نقطه‌ی پایانی تیر یک سرگیردار زیر بار متمرکز انتهایی بر اساس معادله‌ی ۵۰ و مرجع [۱۹].

$$\begin{cases} 2ah = 0 \Rightarrow a = 0 \\ 2bh = 0 \Rightarrow b = 0 \\ 4ah^2 + 2ch = 1 \Rightarrow c = \frac{1}{2h} \\ -2ah^2 + bh^2 - ch + \frac{d}{2} = 0 \Rightarrow d = 1 \\ -ch - ah - 2ah^2 - 2ah^2 - b(h + h^2) + \frac{f}{2} = 0 \\ \Rightarrow f = 1 \end{cases} \quad (43)$$

و سپس تابع پاسخ به‌صورت رابطه‌ی ۴۴ نوشته شده است:

$$\bar{w}_B''(\xi) = \frac{1}{2h} + \delta(\xi) + \delta(\xi - 1) \quad (44)$$

تابع‌های به‌دست‌آمده، پاسخ‌های دقیق و صریح معادله‌های انتگرالی ۲-۲۳ و ۳-۲۳ هستند. در بخش بعدی، پاسخ‌های به‌دست‌آمده ترکیب شده و تابع انحنای خیز تیر نانو نیز به‌دست آمده است. شایان ذکر است که پاسخ‌های تحلیلی مندرج در دو رابطه‌ی ۴۰ و ۴۴، برای نخستین بار است که به‌دست آمده و گزارش شده‌اند. در پژوهش فرناندز و همکاران (۲۰۱۶)، [۱۹] فقط پاسخ عددی معادله‌های انتگرالی و آن هم در یک نقطه از تیر به‌دست آمده است.

### ۴. یافتن تابع خیز تیر نانو

تا اینجا پاسخ تمام معادلات انتگرالی رابطه‌های ۱-۲۳، ۲-۲۳ و ۳-۲۳ به‌دست آمده است. بنابراین می‌توان براساس تابع‌های مندرج در سه رابطه‌ی ۲۴، ۴۰ و ۴۴ و همچنین، براساس رابطه‌ی ۲۱، به تابع خیز دست یافت (رابطه‌ی ۴۵). تابع انحنای شامل تابع دلتای دیراک و تابع‌های شیب و خیز دارای تابع هوی‌ساید هستند.

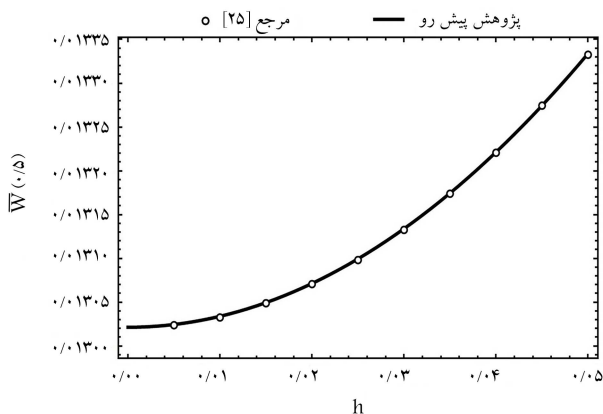
$$\begin{aligned} \bar{w}''(\xi) &= \bar{w}_A''(\xi) - A\bar{w}_A''(\xi) - B\bar{w}_B''(\xi) \\ &= \left[ \bar{M}(\xi) - h^2\bar{q}(\xi) + \left( \frac{A\xi + B}{2h} \right) \right] \\ &\quad - A \left[ \frac{\xi}{2h} - h\delta(\xi) + (1+h)\delta(\xi - 1) \right] \\ &\quad - B \left[ \frac{1}{2h} + \delta(\xi) + \delta(\xi - 1) \right] = \bar{M}(\xi) - h^2\bar{q}(\xi) \\ &\quad + (Ah - B)\delta(\xi) - [A(h + 1) + B]\delta(\xi - 1) \end{aligned} \quad (45)$$

به عبارت دیگر، رابطه‌ی اخیر مطابق رابطه‌ی ۴۶ خلاصه شده است:

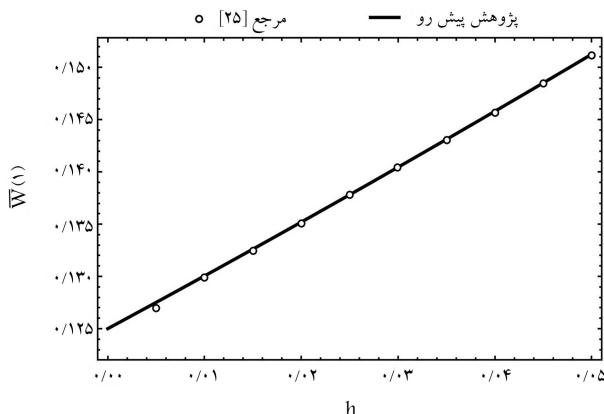
$$\begin{cases} \bar{w}''(\xi) = \bar{M}(\xi) - h^2\bar{q}(\xi) + \beta_1\delta(\xi) + \beta_2\delta(\xi - 1) \\ \beta_1 = Ah - B \\ \beta_2 = -[A(h + 1) + B] \end{cases} \quad (46)$$

که در آن،  $A$  و  $B$  به کمک رابطه‌های (۲-۱۶) و (۳-۱۶) محاسبه می‌شوند. براساس رابطه‌ی دیفرانسیلی میان بار خارجی و لنگر خمشی می‌توان روابط ۴۷ (۱ الی ۳) را نوشت:

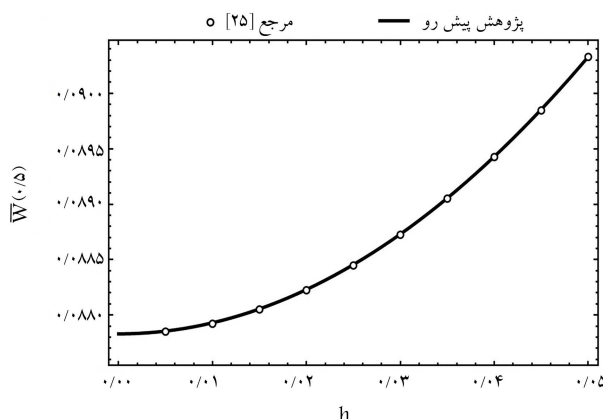
$$\begin{cases} \bar{q}(\xi) = \frac{d^2\bar{M}}{d\xi^2} & (47-1) \\ \bar{V}(\xi) = C_1 + \int_0^\xi \bar{q}(t)dt & (47-2) \\ \bar{M}(\xi) = C_2 + C_1\xi + \int_0^\xi (\xi - t)\bar{q}(t)dt & (47-3) \end{cases}$$



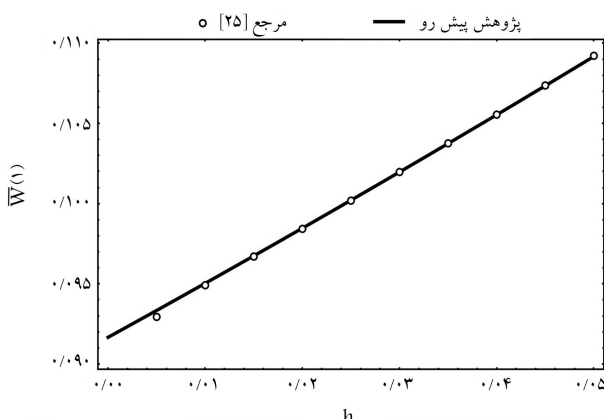
شکل ۹. خیز نقطه‌ی میانی تیر دو سر مفصل زیر بار گسترده‌ی یکنواخت براساس معادله‌ی ۵° و مرجع [۱۹].



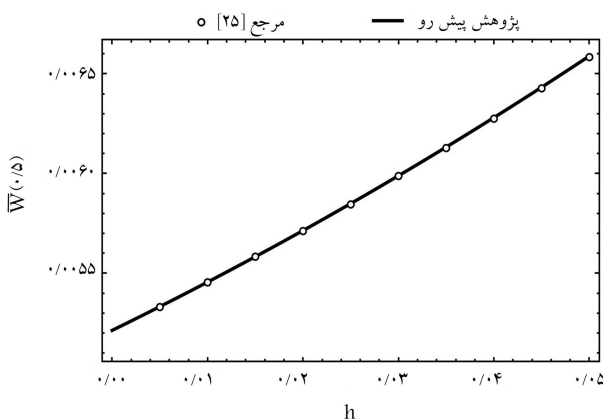
شکل ۶. خیز نقطه‌ی پایانی تیر یک سر گیردار زیر بار گسترده‌ی یکنواخت براساس معادله‌ی ۵° و مرجع [۱۹].



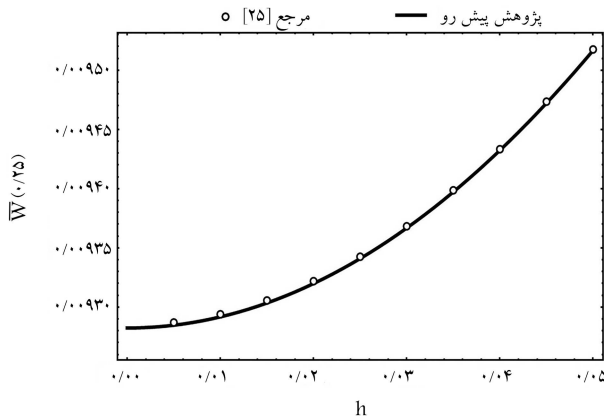
شکل ۱۰. خیز نقطه‌ی میانی تیر دو سر مفصل زیر بار گسترده‌ی کسینوسی به معادله‌ی  $\bar{q}(\xi) = 2\pi^2 \cos(2\pi\xi)$  و براساس معادله‌ی ۵° و مرجع [۱۹].



شکل ۷. خیز نقطه‌ی پایانی تیر یک سر گیردار زیر بار گسترده‌ی مثلثی به معادله‌ی  $\bar{q}(\xi) = \xi$  بر اساس معادله‌ی ۵° و مرجع [۱۹].



شکل ۱۱. خیز نقطه‌ی میانی تیر یک سر گیردار یک سر مفصل زیر بار گسترده‌ی یکنواخت براساس معادله‌ی ۵° و مرجع [۱۹].

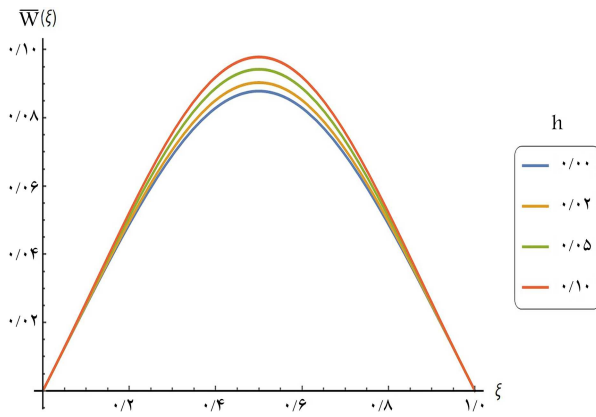


شکل ۸. خیز نقطه‌ی ۱/۴ تیر دو سر مفصل زیر بار گسترده‌ی یکنواخت براساس معادله‌ی ۵° و مرجع [۱۹].

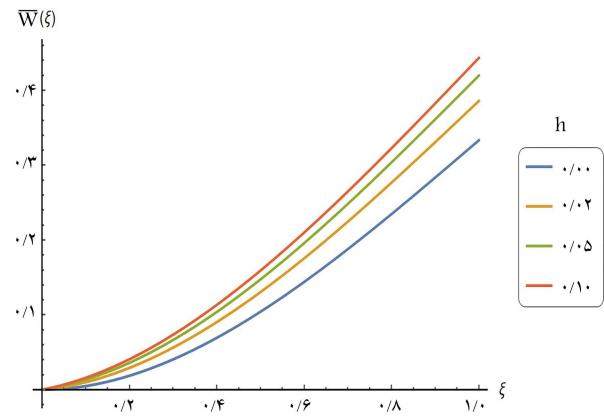
در ادامه، با توجه به نمودارهای شکل‌های ۵ الی ۱۷، نتایج استخراج شده است. در ابتدا، براساس شکل‌های ۵ الی ۱۷ آشکار است که با افزایش پارامتر غیرموضعی، خیز تیر افزایش یافته است. اگر فرض شود جنس و ابعاد سطح مقطع تیر نانو ثابت باشد، عامل افزایش پارامتر غیرموضعی، فقط کاهش طول تیر است. از طرفی می‌توان نتیجه گرفت که برخلاف نظریه‌ی کلاسیک، با کاهش طول تیر نانو،

در نمودارهای اخیر، محور قائم مربوط به خیز بی‌بعد نقطه‌ی مشخصی از تیر نانو و محور افقی نشان‌دهنده‌ی پارامتر غیرموضعی بی‌بعد است. همان‌طور که در تمام آن‌ها مشاهده می‌شود، نتایج به‌دست آمده براساس حل معادله‌ی ۵° منطبق بر نتایج عددی مرجع [۱۹] بوده است. در ادامه، نمودارهای خیز تیرهای نانو با شرایط مرزی و بارگذاری‌های مختلف ارائه شده‌اند.

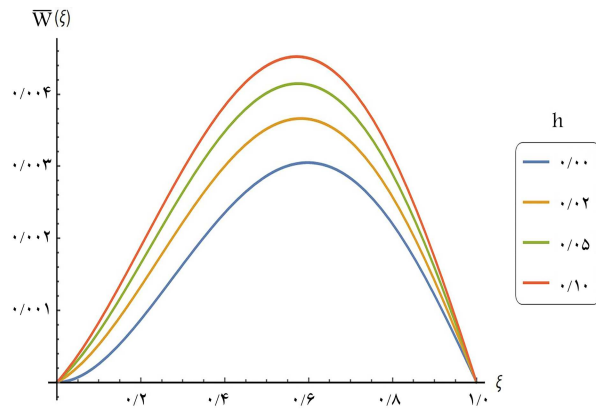




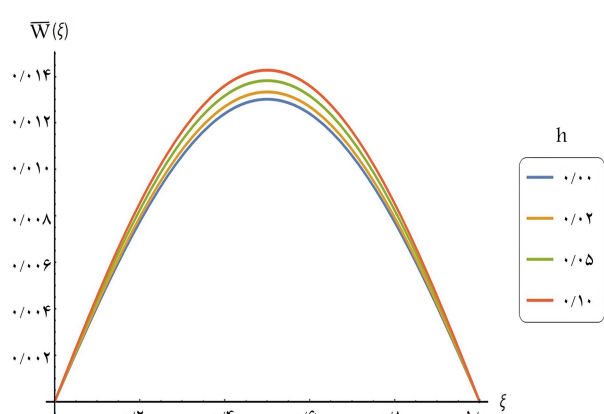
شکل ۱۵. نمودار خیز تیر دو سر مفصل زیر بار گسترده‌ی کسینوسی به معادله‌ی  $\bar{q}(\xi) = 2\pi^2 \cos(2\pi\xi)$  و براساس معادله‌ی  $5^\circ$ .



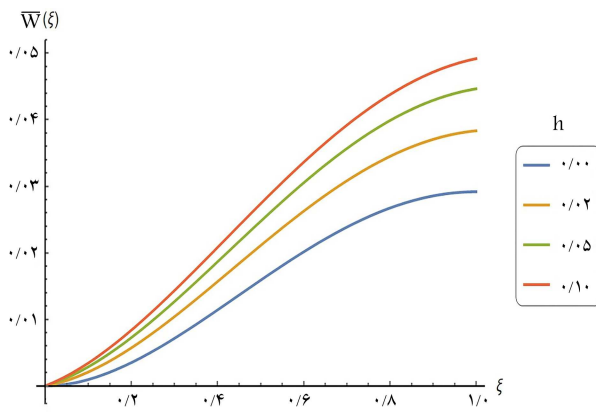
شکل ۱۲. نمودار خیز تیر یک سر گیردار زیر بار متمرکز انتهایی براساس معادله‌ی  $5^\circ$ .



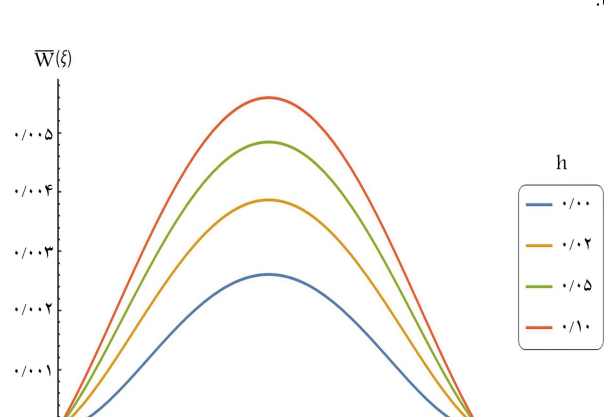
شکل ۱۶. نمودار خیز تیر یک سر گیردار یک سر مفصل زیر بار گسترده‌ی مثلثی به معادله‌ی  $\bar{q}(\xi) = \xi$  و براساس معادله‌ی  $5^\circ$ .



شکل ۱۳. نمودار خیز تیر دو سر مفصل زیر بار گسترده‌ی یکنواخت براساس معادله‌ی  $5^\circ$ .



شکل ۱۷. نمودار خیز تیر یک سر گیردار یک سر برش آزاد زیر بار گسترده‌ی مثلثی به معادله‌ی  $\bar{q}(\xi) = \xi$  و براساس معادله‌ی  $5^\circ$ .



شکل ۱۴. نمودار خیز تیر دو سر گیردار زیر بار گسترده‌ی یکنواخت براساس معادله‌ی  $5^\circ$ .

ایجاد می‌شود. این تذکر لازم است، که مطابق رابطه‌ی ۴۹، تابع شیب تیر نانو، دو تابع هوی‌ساید در دو انتهای خود دارد. تابع هوی‌ساید به صورت رابطه‌ی ۵۱ تعریف می‌شود:<sup>[۳۴]</sup>

$$H(\xi) = \int_{-\infty}^{\xi} \delta(\xi) d\xi \quad (51)$$

که براساس آن، مقدار تابع هوی‌ساید به ازاء مقادیر مثبت، ۱؛ به ازاء مقادیر

خیز آن متناسباً کاهش نیافته و در نتیجه مجموعاً، خیز تیر افزایش پیدا کرده است. در ادامه، به علت تناقضی که در شکل‌های ۱۲، ۱۴، ۱۶ و ۱۷ رخ داده است، اشاره شده است. براساس شکل‌های مذکور، کاملاً مشهود است که شیب تیر نانو در تکیه‌گاه‌ها صفر نیست. این در حالی است که در تیرهای نانو، تکیه‌گاه گیردار یا برش‌آزاد وجود دارد. این تناقض فقط به هنگام استفاده از تابع هسته‌ی نمایی طبیعی

بر این اساس، ابتدا مبانی نظری تئوری کشسانی غیرموضعی گرادیان تنش و معادله‌ی انتگرالی مزبور تشریح و سپس مبانی ریاضی حل یک معادله‌ی انتگرالی به روش عددی نیستروم ارائه و از آن، برای حل عددی معادلات انتگرالی حاکم بر تیرهای نانو استفاده شده است. در گام بعدی، با توجه به نتایج روش عددی نیستروم، روش تحلیلی حل معادله‌ی انتگرالی دنبال شد و تابع انحنا و سپس تابع خیز تیر نانو با فرم بسته به دست آمد. همچنین، برای اطمینان از درستی رابطه‌ی نهایی، رابطه‌ی به دست آمده برای تیرهای نانو با شرایط مرزی و بارگذاری‌های مختلف استفاده و نتایج آن با یافته‌های پیشین مقایسه شده است. شایان ذکر است، در پی آشکارشدن تناقضی در نتایج عددی، علت آن تناقض نیز روشن شد. به دست آوردن تابع پاسخ دقیق در مقایسه با روش‌های عددی، این امکان را در اختیار پژوهشگران قرار می‌دهد که بتوانند با دقت‌های بالاتر و با صرف زمان کمتر و بدون نیاز به روش‌های طولانی عددی به تحلیل تیرهای نانو بپردازند.

منفی،  $\theta$ ؛ و به ازاء  $\theta$  مساوی  $\frac{1}{2}$  است. این ناپیوستگی تابع هوی‌ساید در نقطه‌یی که مقدار کمانک جلوی آن را صفر می‌کند، باعث ایجاد تناقض مذکور در تیرهایی می‌شود که دست‌کم یکی از دو انتهای آن‌ها، شرط مرزی شیپ صفر را دارند.

## ۶. نتیجه‌گیری

در پژوهش حاضر، نظریه‌ی غیرموضعی گرادیان تنش ارینگن،<sup>[۱]</sup> برای تحلیل تیر نانو ایولر - برنولی استفاده شده است، که برای تیرهای نانو منجر به معادله‌ی انتگرالی شد؛ که برای تابع هسته‌ی آن، تابع نمایی طبیعی در نظر گرفته شد. در ادامه، برای نخستین بار، پاسخ معادله‌ی انتگرالی اخیر و معادله‌ی دیفرانسیل معادل آن، مستقیماً و با ترکیب روش‌های عددی نیستروم و روش‌های تحلیلی در دسترس قرار گرفت.

## پانوشتها

1. Eringen
2. Romano & Barretta
3. Mindlin
4. Papargyri
5. Nilsson
6. Atomic Force Microscopy
7. Patti
8. Sapsathiarn & Rajapakse
9. Shenoy & Miller
10. Sumelka & Stempin
11. Kröner
12. Eringen
13. Edelen
14. Bessel Functions
15. Peddieson
16. Shindo & Wang
17. Wang & Liew
18. Abu-Hilal
19. Fernandez-Saez
20. Kukla & Zamojska
21. Yuan
22. Kiani & Żur
23. Tuna & Kirca
24. Romano & Barretta
25. Nyström
26. Volterra and Fredholm Integral Equations
27. Eringen
28. Polyanin & Manzhirov
29. Dirac Delta Function

## منابع (References)

1. Eringen, A.C., 1983. On differential equations of nonlocal elasticity and solutions of screw dislocation and surface waves. *Journal of Applied Physics*, 54(9), pp. 4703-

4710. doi.org/10.1063/1.332803.
2. Romano, G. and Barretta, R., 2017. Stress-driven versus strain-driven nonlocal integral model for elastic nanobeams. *Composites Part B: Engineering*, 114, pp. 184-188. doi.org/10.1016/j.compositesb.2017.01.008.
3. Mindlin, R.D., 1964. Micro-structure in linear elasticity. *Archive for Rational Mechanics and Analysis*, 16(1), pp. 51-78. doi.org/10.1007/BF00248490.
4. Papargyri-Beskou, S., Tsepoura, K.G., Polyzos, D. and Beskos, D., 2003. Bending and stability analysis of gradient elastic beams. *International Journal of Solids and Structures*, 40(2), pp. 385-400. doi.org/10.1016/S0020-7683(02)00522-X.
5. Sapsathiarn, Y. and Rajapakse, R.K.N.D., 2012. A model for large displacements of nanobeams and experimental comparison. *IEEE Transactions on Nanotechnology*, 11(2), pp. 247-254. doi.org/10.1109/TNANO.2011.2160457.
6. Miller, R.E. and Shenoy, V.B., 2000. Size-dependent elastic properties of nanosized structural elements. *Nanotechnology*, 11(3), pp. 139-147. doi.org/10.1088/0957-4484/11/3/301.
7. Nilsson, S.G., Sarwe, E.L. and Montelius, L., 2003. Fabrication and mechanical characterization of ultrashort nanocantilevers. *Applied Physics Letters*, 83(5), pp. 990-992. doi.org/10.1063/1.1592303.
8. Nilsson, S.G., Borrise, X. and Montelius, L., 2004. Size effect on Young's modulus of thin chromium cantilevers. *Applied Physics Letters*, 85(16), pp. 3555-3557. doi.org/10.1063/1.1807945.
9. Patti, A., Barretta, R., De Sciarra, F.M., Mensitieri, G., Menna, C. and Russo, P., 2015. Flexural properties of multi-wall carbon nanotube/polypropylene composites: Experimental investigation and nonlocal modeling. *Composite Structures*, 131, pp. 282-289. doi.org/10.1016/j.compstruct.2015.05.002.

10. Stempin, P. and Sumelka, W., 2020. Space-fractional Euler-Bernoulli beam model-theory and identification for silver nanobeam bending. *International Journal of Mechanical Sciences*, 186, pp. 111-119. doi.org/10.1016/j.ijmecsci.2020.105902.
11. Kröner, E., 1967. Elasticity theory of materials with long cohesive forces. *International Journal of Solids and Structures*, 3(5), pp. 731-742. doi.org/10.1016/0020-7683(67)90049-2.
12. Eringen, A.C., 1972. Linear theory of nonlocal elasticity and dispersion of plane waves. *International Journal of Engineering Science*, 10(5), pp. 425-435. doi.org/10.1016/0020-7225(72)90050-X.
13. Eringen, A.C. and Edelen, D., 1972. On nonlocal elasticity. *International Journal of Engineering Science*, 10(3), pp. 233-248. doi.org/10.1016/0020-7225(72)90039-0.
14. Peddieson, J., Buchanan, G.R. and McNitt, R.P., 2003. Application of nonlocal continuum models to nanotechnology. *International Journal of Engineering Science*, 41(3-5), pp. 305-312. doi.org/10.1016/S0020-7225(02)00210-0.
15. Wang, Q. and Shindo, Y., 2006. Nonlocal continuum models for carbon nanotubes subjected to static loading. *Journal of Mechanics of Materials and Structures*, 1(4), pp. 663-680. doi.org/10.2140/jomms.2006.1.663.
16. Wang, Q. and Liew, K.M., 2007. Application of nonlocal continuum mechanics to static analysis of micro-and nano-structures. *Physics Letters A*, 363(3), pp. 236-242. doi.org/10.1016/j.physleta.2006.10.093.
17. Abu-Hilal, M., 2003. Forced vibration of Euler-Bernoulli beams by means of dynamic Green functions. *Journal of Sound and Vibration*, 267(2), pp. 191-207. doi.org/10.1016/S0022-460X(03)00178-0.
18. Ghannadiasl, A. and Mofid, M., 2014. Dynamic green function for response of timoshenko beam with arbitrary boundary conditions. *Mechanics Based Design of Structures and Machines*, 42(1), pp. 97-110. doi.org/10.1080/15397734.2013.836063.
19. Fernandez-Saez, J., Zaera, R., Loya, J.A. and Reddy, J., 2016. Bending of Euler-Bernoulli beams using Eringen's integral formulation: A paradox resolved. *International Journal of Engineering Science*, 99, pp. 107-116. doi.org/10.1016/j.ijengsci.2015.10.013.
20. Kukla, S. and Zamojska, I., 2007. Frequency analysis of axially loaded stepped beams by Green's function method. *Journal of Sound and Vibration*, 300(3-5), pp. 1034-1041. doi.org/10.1016/j.jsv.2006.07.047.
21. Kiani, K. and Pakdaman, H., 2018. Nonlocal vibrations and potential instability of monolayers from double-walled carbon nanotubes subjected to temperature gradients. *International Journal of Mechanical Sciences*, 144, pp. 576-599. doi.org/10.1016/j.ijmecsci.2018.06.018.
22. Kiani, K. and Pakdaman, H., 2020. On the nonlocality of bilateral vibrations of single-layered membranes from vertically aligned double-walled carbon nanotubes. *Physica Scripta*, 95(3), p. 035221. doi.org/10.1088/1402-4896/ab43b6.
23. Yuan, Y., Xu, K. and Kiani, K., 2020. Torsional vibration of nonprismatically nonhomogeneous nanowires with multiple defects: Surface energy-nonlocal-integro-based formulations. *Applied Mathematical Modelling*, 82, pp. 17-44. doi.org/10.1016/j.apm.2020.01.030.
24. Kiani, K. and Żur, K.K., 2021. Vibrations of double-nanorod-systems with defects using nonlocal-integral-surface energy-based formulations. *Composite Structures*, 256, pp. 113028. doi.org/10.1016/j.compstruct.2020.113028.
25. Tuna, M. and Kirca, M., 2016. Exact solution of Eringen's nonlocal integral model for bending of Euler-Bernoulli and Timoshenko beams. *International Journal of Engineering Science*, 105, pp. 80-92. doi.org/10.1016/j.ijengsci.2016.05.001.
26. Romano, G. and Barretta, R., 2016. Comment on the paper "Exact solution of Eringen's nonlocal integral model for bending of Euler-Bernoulli and Timoshenko beams" by Meral Tuna & Mesut Kirca. *International Journal of Engineering Science*, 100(109), pp. 240-242. doi.org/10.1016/j.ijengsci.2016.09.009.
27. Polyanin, P. and Manzhirov, A.V., 2008. *Handbook of Integral Equations*. Chapman and Hall/CRC. doi.org/10.1201/9781420010558.
28. Delves, L.M. and Mohamed, J.L., 1985. *Computational Methods for Integral Equations*. CUP Archive.
29. Abdou, M.A., Mohamed, K.J. and Ismal, A.S., 2002. Toeplitz matrix and product Nyström methods for solving the singular integral equation. *Le Matematiche*, 57(1), pp. 21-37.
30. Tong, M.S., Qian, Z.G. and Chew, W.C., 2010. Nyström method solution of volume integral equations for electromagnetic scattering by 3D penetrable objects. *IEEE Transactions on Antennas and Propagation*, 58(5), pp. 1645-1652. doi.org/10.1109/TAP.2010.2044350.
31. Occorsio, D. and Russo, M.G., 2014. Nyström methods for Fredholm integral equations using equispaced points. *Filomat*, 28(1), pp. 49-63. doi.org/10.2298/FIL1401049O.
32. Bremer, J. and Gimbutas, Z., 2012. A Nyström method for weakly singular integral operators on surfaces. *Journal of Computational Physics*, 231(14), pp. 4885-4903. doi.org/10.1016/j.jcp.2012.04.003.
33. Dick, J., Kritzer, P., Kuo, F.Y. and Sloan, I.H., 2007. Lattice-Nyström method for Fredholm integral equations of the second kind with convolution type kernels. *Journal of Complexity*, 23(4-6), pp. 752-772. doi.org/10.1016/j.jco.2007.03.004.
34. Kanwal, R.P., 2012. *Generalized Functions: Theory and Applications*. Springer Science & Business Media.